

文章编号：2095-4980(2018)04-0588-07

## 基于石墨烯材料的太赫兹波探测器研究进展

全文浩<sup>1</sup>, 刘北云<sup>2</sup>, 杨炎翰<sup>2</sup>, 游聪娅<sup>2</sup>, 王保柱<sup>1</sup>, 睢丙东<sup>1</sup>, 袁瑞场<sup>\*3</sup>, 张永哲<sup>\*2</sup>

(1.河北科技大学 信息科学与工程学院, 河北 石家庄 050011; 2.北京工业大学 材料科学与工程学院, 北京 100124;  
3.首都师范大学 物理系, 北京 100089)

**摘要：**太赫兹波具有瞬态性、宽带性、穿透性和低能性等一系列独特性质，使其在材料研究、信息传递、环境检测、国防安全、医疗服务等方面展现了非常广阔的应用前景。作为该领域应用的关键，太赫兹探测器得到科研人员极大的重视。一般来讲，探测器的性能很大程度上依赖于基质材料的特性。石墨烯具有2个非常重要的优势，一是石墨烯具有线性能带结构，使得能够吸收太赫兹波；二是石墨烯具有超高载流子迁移率，能够进行超快探测。因此，石墨烯基有望成为太赫兹频段新一代高性能探测器的基质材料。详细综述了近几年关于石墨烯基太赫兹探测器的发展状况。

**关键词：**石墨烯；太赫兹波；探测器；室温；高灵敏度

中图分类号：TN36

文献标志码：A

doi: 10.11805/TKYDA201804.0588

## Research progress of graphene based terahertz wave detectors

TONG Wenhao<sup>1</sup>, LIU Beiyun<sup>2</sup>, YANG Yanhan<sup>2</sup>, YOU Congya<sup>2</sup>, WANG Baozhu<sup>1</sup>,  
SUI Bingdong<sup>1</sup>, YUAN Ruiyang<sup>\*3</sup>, ZHANG Yongzhe<sup>\*2</sup>

(1.The School of Information Science and Engineering, Hebei University of Science & Technology, Shijiazhuang Hebei 050011, China;  
2.College of Materials Science and Engineering, Beijing University of Technology, Beijing 100124, China;  
3.Department of Physics, Capital Normal University, Beijing 100089, China)

**Abstract:** Terahertz wave has unique advantages, such as being transient, broadband, penetration and low energy, which shows a very broad application prospect in the research of materials science, information communication, environmental monitoring, national defense, medical services etc. As the key of the application in this field, terahertz detector has attracted much attention. Graphene has two advantages for detector. Firstly, the linear band structure makes it possible to absorb terahertz photon and convert to current or voltage. Secondly, it has ultra high carrier mobility so that it could realize ultrafast detection. Therefore, graphene is expected to be the suitable material for new generation of high performance detectors in the terahertz band. The development of terahertz detectors based on graphene in recent years is summarized in detail.

**Keywords:** graphene; terahertz; detector; room temperature; high sensitivity

太赫兹波(Terahertz, THz)，通常定义为波长在0.03~3 mm、频率在0.1~10 THz范围内的电磁波。太赫兹波位于微波与红外波之间<sup>[1]</sup>，与微波相比，太赫兹波的波长短，使其空间分辨力高；与红外波相比，太赫兹波的能量低，使其能够进行无损检测。因此，太赫兹波在军事<sup>[2-3]</sup>、航空<sup>[4]</sup>、通信<sup>[5-6]</sup>、医疗<sup>[7-8]</sup>和环境<sup>[9]</sup>等领域有着广泛的应用。但是长期以来，由于THz发射源和THz探测技术的匮乏限制了该波段的实际应用<sup>[10]</sup>，并形成“太赫兹空白(THz Gap)”的现象。自从20世纪80年代起，随着相关技术和材料的发展，THz技术也得以快速发展，成为当今的热门研究方向之一。

收稿日期：2017-09-13；修回日期：2017-11-11

基金项目：国家自然科学基金资助项目(61575010,61574009,11274028,11574014); 北京市科技新星资助项目(Z141109001814053); 北京市自然科学基金资助项目(4162016); 北京市科委先导与优势材料创新资助项目(Z151100003315018,Z151100003315004,Z151100003515003); 国家重大科学仪器设备开发专项资助项目(2011YQ13001805); 中科院半导体材料科学重点实验室开放课题资助项目(KLSMS-1404); 低维量子物理国家重点实验室开放课题资助项目(KF201510)

\*通信作者：张永哲 email:vzzhang@bjut.edu.cn; 袁瑞场 email:yuanrv@cnu.edu.cn

## 1 太赫兹波的探测方式

在太赫兹技术应用中, 太赫兹信号的探测具有十分重要的意义。其探测难度主要是因为太赫兹波的能量低(0.41 meV), 使得背景噪声(例如热噪声)通常占据主导位置。目前, 从原理上太赫兹探测可分为相干探测和非相干探测(直接探测)2大类。相干探测技术通过非线性器件把太赫兹信号变换到易于探测的低频信号来处理, 例如光电导天线采样法<sup>[11-12]</sup>、自由空间电光采样法<sup>[13-16]</sup>以及外差法<sup>[17]</sup>; 非相干探测则是通过探测器的基质材料把太赫兹信号转化为直流电流或电压信号, 例如测辐射热计<sup>[18-20]</sup>、热释电探测器<sup>[21]</sup>、Golay cell 探测器<sup>[21]</sup>等。相比相干探测方式, 非相干探测方式具有系统简单、易于集成化的优势<sup>[22]</sup>。当前常用的太赫兹探测器主要有 Golay cell 探测器、热释电探测器、测辐射热计型探测器以及场效应晶体管型探测器, 但是其性能依然有一些不足。Golay cell 探测器、热释电探测器和测辐射热计型探测器均是通过基质材料吸收太赫兹能量后温度发生变化, 从而引起其他物理量的变化进行探测, 因此响应速度非常慢。场效应晶体管型探测器是通过受激发的等离子体波与太赫兹波发生共振, 在电荷输运中表现为电信号的变化来进行探测, 其优势在于室温、高速和低噪声<sup>[23]</sup>; 劣势在于目前所用材料(比如 GaN/AlGaN)的等离子波与太赫兹波耦合效率低, 使得探测灵敏度较低。因此, 目前的太赫兹探测器无论是在响应时间方面还是灵敏度方面均存在一定的问题。

## 2 石墨烯在太赫兹探测器中的应用

2004年, 英国曼切斯特大学 Geim 团队用微机械剥离法分离出单原子层的石墨烯<sup>[24]</sup>。对于太赫兹探测器来说, 石墨烯具有2个非常重要的优势: a) 可以制备成超快探测器, 因其具有高达  $2 \times 10^5 \text{ cm}^2 \cdot \text{V}^{-1} \cdot \text{s}^{-1}$ <sup>[25]</sup> 的载流子迁移率; b) 可以制备成场效应晶体管型探测器, 因为当其载流子浓度适中时(可以通过栅压来调节), 石墨烯内部的等离子体振荡频率就在太赫兹频段, 另外石墨烯中的电子是无质量的狄拉克费米子, 使得等离子体波与太赫兹波的耦合要强得多。综合以上两点优势, 基于石墨烯的太赫兹探测器得到迅速发展。

2009年, V Ryzhii 和 M Ryzhii 等从理论上提出采用背栅式双层石墨烯沟道结构对太赫兹波进行探测, 如图1所示<sup>[26]</sup>。其探测原理为双层石墨烯具有可调的禁带宽度, 使得器件受到太赫兹照射时产生电子-空穴对并在石墨烯的双层带隙中迁移, 从而引起源漏电流的变化。通过计算, 该模型的响应率最大能够达到 4.6 A/W。后来他们基于多层石墨烯结构在理论上设计出 P-I-N 型光电探测器结构, 如图2所示<sup>[27]</sup>。通过仿真计算得出, P-I-N 型石墨烯探测器的响应率( $T > 180 \text{ K}$ )和探测率( $T > 240 \text{ K}$ )高于背栅式的双层石墨烯太赫兹探测器的响应率和探测率。

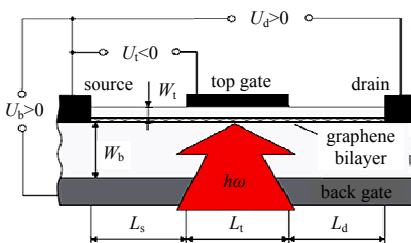


Fig.1 Schematic diagram of double layer graphene transistor  
图1 双层石墨烯晶体管结构示意图

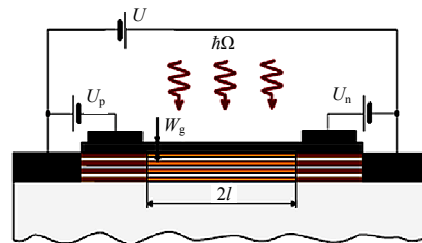


Fig.2 Structure of graphene detector  
图2 石墨烯探测器结构图

2012年, Vicarelli 等开发了一种利用热电子效应制备的石墨烯场效应管室温太赫兹探测器<sup>[28]</sup>, 如图3所示。探测器主要由石墨烯场效应晶体管源和栅极之间的对数周期圆齿型天线图案组成。源漏极非对称天线的设计主要是为了不同程度地吸收太赫兹波, 从而使得两端的温度不同, 进而产生电流的变化。实验结果表明, 该室温探测器在 0.3 THz 频段下最为灵敏, 其噪声等效功率(Noise Equivalent Power, NEP)为  $200 \text{ nW/Hz}^{1/2}$ 。2013年, 德国的 Mittendorff 团队利用不同阻值的衬底制作了石墨烯太赫兹波探测器, 如图4所示<sup>[29]</sup>。通过性能测试对比发现, 高阻衬底的响应速度比低阻衬底快将近1倍。他们明确了衬底电阻对响应时间的影响是由载流子对光子能量的吸收引起的, 并提出了高阻衬底对拓宽探测器响应带宽的可能性。上述2种探测器所用的石墨烯均是通过机械剥离的方法获得, 无法进行大规模应用。2014年, 瑞典 Zak 等利用化学气相沉积(Chemical Vapor Deposition, CVD)的方法将生长的石墨烯用到场效应晶体管太赫兹探测器中, 如图5所示<sup>[30]</sup>。石墨烯是 Sun 及其同事<sup>[31]</sup>通过 CVD 方法生长, 并通过光学显微镜和拉曼光谱证实该石墨烯是单层的。利用蝶型天线结构以及 Dyakonov-Shur 机理优化器件结构, 使之性能能够与机械剥离的石墨烯探测器性能相媲美。最终, 该器件在频率为 0.6 THz 下, 最大响应率为 14 V/W, 最小等效噪声功率为  $515 \text{ pW/Hz}^{1/2}$ 。

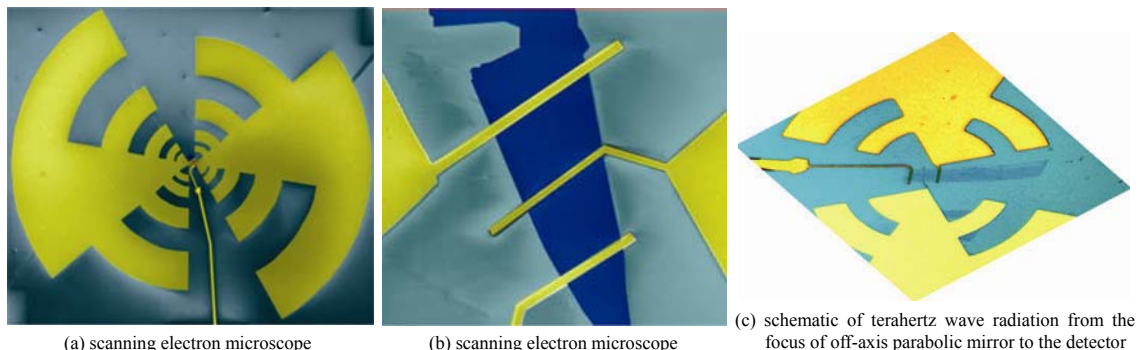


Fig.3 Graphene field effect transistor terahertz detector based on antenna coupling

图3 基于天线耦合的石墨烯场效应晶体管太赫兹探测器

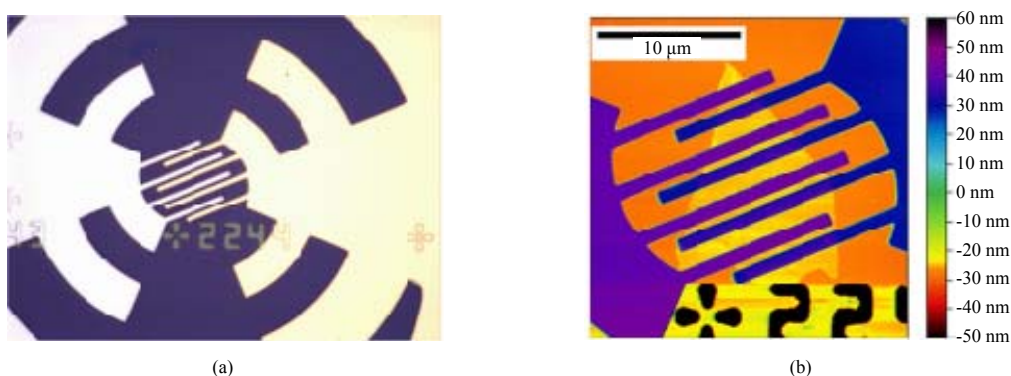


Fig.4 (a) Inter part of the antenna with interdigitated structure and (b) AFM image of the interdigitated structure with graphene flake  
 图 4 叉指式结构内部天线图(a)和石墨烯薄片制成的叉指式结构AFM图(b)

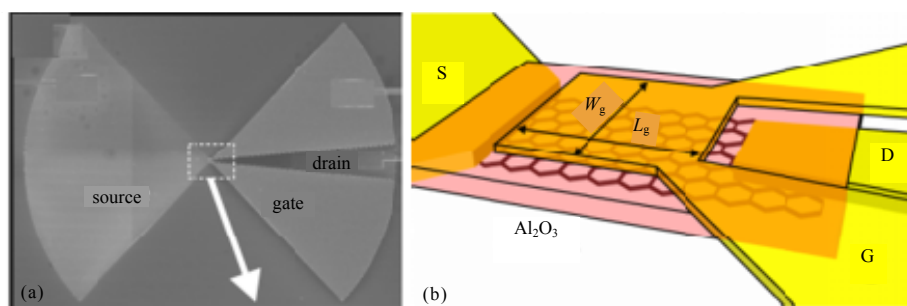


Fig.5 (a) SEM image of the split bow-tie integrated GFET detector and (b) schematic of the split bow-tie integrated GFET detector  
 图5 集成隙缝蝶形天线的场效应晶体管太赫兹探测器扫描电镜图(a)和集成隙缝蝶形天线的场效应晶体管太赫兹探测器结构图(b)

近年来，等离子体波太赫兹探测器得到了人们越来越多的关注<sup>[32]</sup>。受激发的等离子体波能够与太赫兹波发生共振，并在电荷输运中表现为光电流或光电压，因此可以用来探测太赫兹辐射波。SUN 等利用高迁移率场效应管中的二维电子气(two-Dimensional Electron Gas, 2DEG)做探测太赫兹的实验<sup>[33]</sup>，他们在 2.5 THz 下利用 AlGaAs/GaAs 制备的高迁移率场效应管探测器成功测出了源漏电流。该探测器存在的一个最大问题就是等离子体波与太赫兹波的耦合效率低。相比于传统半导体的二维电子气系统，石墨烯中的电子是无质量的狄拉克费米子，因此，太赫兹波与等离子体波的耦合要强烈得多<sup>[34]</sup>。在理论方面，2012 年，Ryzhii 研究组理论上提出了基于等离子波振荡的双层石墨烯结构，如图 6 所示<sup>[35]</sup>。通过模拟仿真得出，当石墨烯的等离子振荡频率恰好与太赫兹波的频率相同时，其响应度最高。而共振频率可以通过栅压来进行调节，因为栅压可以调控石墨烯的载流子浓度。

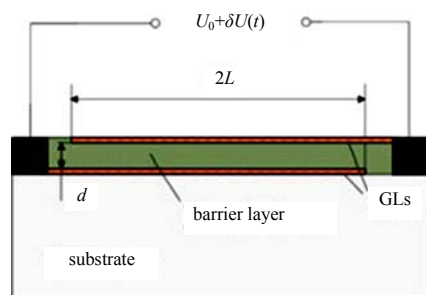


Fig.6 Schematic diagram of terahertz detector based on bilayer graphene heterojunction

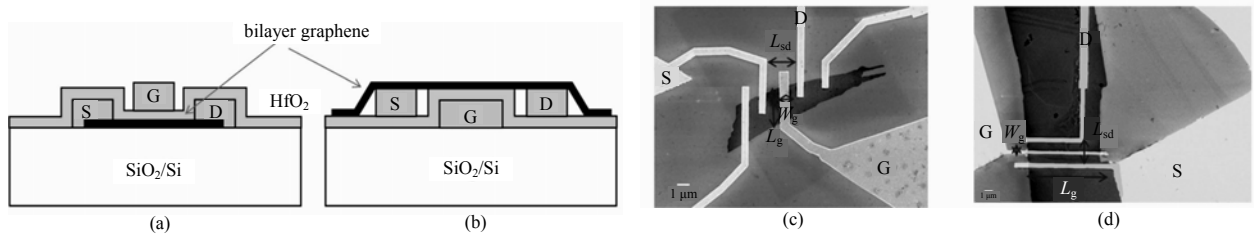


Fig.7 Schematics of top gate type double layer graphene field effect transistor(a), scanning electron microscope of device(c) and buried gate type double layer graphene field effect transistor(b), scanning electron microscope of device(d)

图 7 顶栅型双层石墨烯场效应晶体管结构(a)及其器件扫描电镜图(c)和埋入式栅极双层石墨烯场效应晶体管结构(b)及其器件扫描电镜图(d)

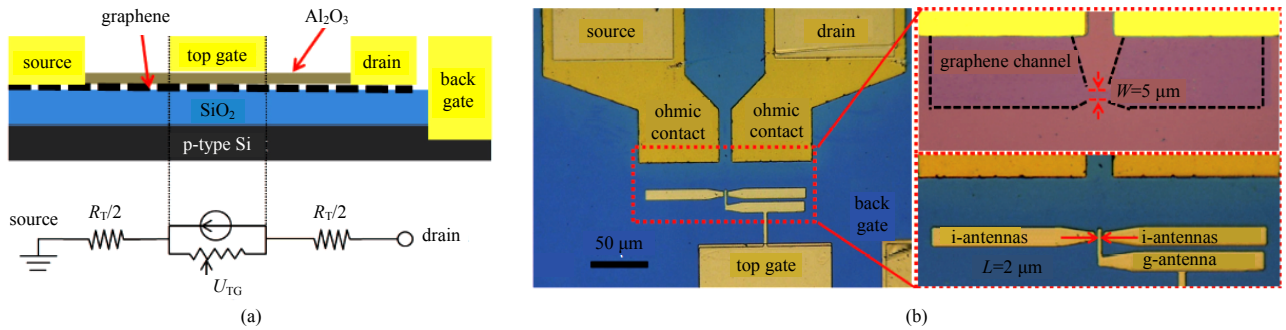


Fig.8 Schematic cross section and equivalent circuit of the detector(a) and optical microscopic images of the detector(b)

图 8 探测器的横截面示意图与等效电路图(a)和探测器的光学显微镜图(b)

在实验方面,2014年,意大利 Spirito 等采用顶栅结构或者埋入式栅结构研制出双层石墨烯场效应晶体管,如图 7 所示<sup>[36]</sup>。通过测试 2 种不同结构的  $I_{sd}U_G$  可得,埋入式栅结构的沟道电阻比顶栅结构的沟道电阻要小 5 倍。通过测试响应率,埋入式栅结构比顶栅结构的响应率要大 1 倍。最终所制备的器件在 0.29 THz 频率下得到了 1.2 V/W 的响应率和  $2 \times 10^{-9}$  W/Hz<sup>1/2</sup> 的等效噪声功率。但是,同样存在机械剥离的石墨烯无法大面积应用的问题。

2015 年,杨欣欣等<sup>[37]</sup>通过 CVD 的方法制备了单层石墨烯场效应太赫兹探测器,如图 8 所示。该探测器在 237 GHz 下实现了电压响应率为 0.1 V/W,等效噪声功率为 207 nW/Hz<sup>1/2</sup>。2017 年,该课题组利用碳化硅(SiC)衬底外延生长的高质量双层石墨烯制备了太赫兹探测器<sup>[38]</sup>,如图 9 所示。因为经过 CVD 生长后的石墨烯需要转移到绝缘衬底上才能制备器件,这会造成石墨烯迁移率的下降。最终,该探测器在 0.34 THz 频段下测得电压响应率达到 30 V/W,等效噪声功率为 163 pW/Hz<sup>1/2</sup>。其实,利用等离子振荡效应制备的探测器在探测太赫兹波时,其性能往往还会受到辐射热效应的影响,美国 Muraviev 等在同一衬底上设计了不同沟道长度的背栅型石墨烯场效应晶体管太赫兹探测器<sup>[39]</sup>,如图 10 所示。研究结果表明,当等离子体波的频率与动量弛豫时间的乘积远远大于 1 时,该探测方式就是等离子体探测模式。同时,他们发现辐射热效应探测模式中电子与空穴对温度的响应是不同的,这主要是因为石墨烯的质量不好使得其狄拉克点并不是位于中间的位置。

### 3 结论

介绍了太赫兹波的应用背景、探测方式以及石墨烯在太赫兹探测器方面的应用进展情况。对于太赫兹探测器

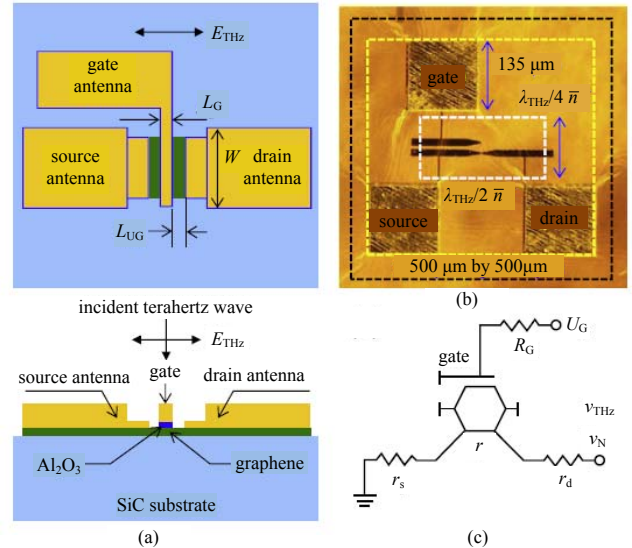


Fig.9 Schematic of the antenna-coupled GFET terahertz detector(a), an optical micrograph of the GFET detector(b) and circuit diagram of the GFET detector(c)

Fig.9 天线耦合的石墨烯场效应晶体管太赫兹探测器示意图(a)、石墨烯场效应晶体管太赫兹探测器光学显微镜图(b)以及石墨烯场效应晶体管太赫兹探测器电路图(c)

的基质材料来说，石墨烯具有线性的能带结构、超高的载流子迁移率以及等离子体波与太赫兹波耦合效率高的优势。因此，近几年石墨烯基太赫兹探测器逐渐取得一定的进展，但是若要将其商业化，还存在一些问题。从石墨烯的角度来讲，可以从以下两个方面进行研究：a) 优化石墨烯生长工艺，生长完美的大面积高质量单晶石墨烯，并进一步降低成本；b) 优化石墨烯(CVD 生长的)转移及器件工艺，降低由于转移而带来的石墨烯破损、石墨烯器件的电接触及天线耦合工艺。另外，探测器的应用基本都是面向成像的，因此石墨烯太赫兹探测器与读出电路工艺的兼容性也是今后的一个研究方向。未来，室温、高效、高灵敏度、易集成的石墨烯太赫兹焦平面成像仪将是一个重要的发展方向。

#### 参考文献：

- [1] FERGUSON B,ZHANG X. Materials for terahertz science and technology[J]. Nature Materials, 2003,1(1):26–33.
- [2] 杨光鲲,袁斌,谢东彦,等. 太赫兹技术在军事领域的应用[J]. 激光与红外, 2011,41(4):376–380. (YANG Guangkun, YUAN Bin,XIE Dongyan,et al. Analysis on the use of THz technology in the military application[J]. Laser and Infrared, 2011,41(4):376–380.)
- [3] 赵国忠,申彦春,刘影,等. 太赫兹技术在军事和安全领域的应用[J]. 电子测量与仪器学报, 2015(8):1097–1101. (ZHAO Guozhong,SHEN Yanchun,LIU Ying,et al. Application of terahertz technology in military and security field[J]. Journal of Electronic Measurement and Instrument, 2015(8):1097–1101.)
- [4] 闵碧波,曾嫦娥,印欣,等. 太赫兹技术在军事和航天领域的应用[J]. 太赫兹科学与电子信息学报, 2014,12(3): 351–354. (MIN Bibo,ZENG Change,YIN Xin,et al. Application of terahertz techniques in military and space[J]. Journal of Terahertz Science and Electronic Information Technology, 2014,12(3):351–354.)
- [5] 郑新,刘超. 太赫兹技术的发展及在雷达和通讯系统中的应用(II)[J]. 微波学报, 2011,27(1):1–5. (ZHENG Xin,LIU Chao. Recent development of THz technology and its application in radar and communication system(II)[J]. Journal of Microwaves, 2011,27(1):1–5.)
- [6] KLEINE-OSTMANN T,NAGATSUMA T. A review on terahertz communications research[J]. Journal of Infrared, Millimeter, and Terahertz Waves, 2011,32(2):143–171.
- [7] SIEGEL P H. Terahertz technology in biology and medicine[J]. IEEE Transactions on Microwave Theory and Techniques, 2004,52(10):2438–2447.
- [8] 周俊,刘盛纲. 太赫兹生物医学应用的研究进展[J]. 现代应用物理, 2014,5(2):85–97. (ZHOU Jun,LIU Shenggang. Research progress of terahertz biomedical applications[J]. Modern Applied Physics, 2014,5(2):85–97.)
- [9] 陆益敏,汪家春,时家明,等. 太赫兹技术在烟尘与风沙探测中的应用[J]. 红外与激光工程, 2010,39(3):487–490. (LU Yimin,WANG Jiachun,SHI Jiaming,et al. Application of THz technology for detection in soot and wind-blown sand[J]. Infrared and Laser Engineering, 2010,39(3):487–490.)
- [10] 吕晶. 表面微纳结构的太赫兹波谱特性研究[D]. 北京:北京工业大学, 2015. (LYU Jing. Research on terahertz spectroscopy properties of the surface micronano structures[D]. Beijing:Beijing University of Technology, 2015.)
- [11] 肖健,高爱华. 光电导天线产生太赫兹波的研究[J]. 应用光学, 2010,31(3):395–399. (XIAO Jian,GAO Aihua. Terahertz generation with photoconductive antenna[J]. Journal of Applied Optics, 2010,31(3):395–399.)
- [12] SMITH F W,LE H Q,DIADIUK V,et al. Picosecond GaAs-based photoconductive optoelectronic detectors[J]. Applied Physics Letters, 1989,54(10):890–892.
- [13] 李铁元,娄采云,王黎,等. 低温生长砷化镓光电导天线产生太赫兹波[J]. 中国激光, 2009,36(4):978–982. (LI Tieyuan,LOU Caiyun,WANG Li,et al. Terahertz wave generation with low-temperature-grown GaAs photoconductive antennas[J]. Chinese Journal of Lasers, 2009,36(4):978–982.)
- [14] 邹锶. 光电导天线的太赫兹时域光谱的系统的研究[D]. 武汉:华中科技大学, 2013. (ZOU Si. The investigation of terahertz time-domain spectroscopy systems based on photoconductive antennae[D]. Wuhan,China:Huazhong University of Science & Technology, 2013.)
- [15] 金飚兵,单文磊,郭旭光,等. 太赫兹检测技术[J]. 物理, 2013,42(11):770–780. (JIN Biaobing,SHAN Wenlei,GUO Xuguang,et al. Terahertz detectors[J]. Physics, 2013,42(11):770–780.)

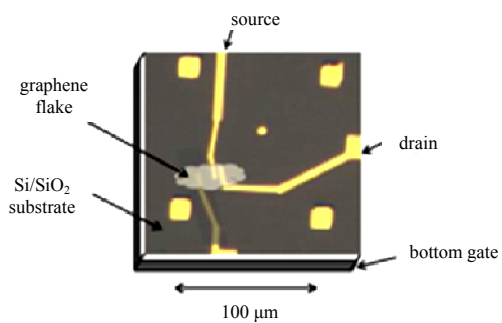


Fig.10 Schematic of the back-gated graphene field-effect transistor  
图 10 背栅结构的石墨烯场效应晶体管示意图

- [16] YAGOUBOV P,KROUG M,MERKEL H,et al. Noise temperature and local oscillator power requirement of NbN phonon-cooled hot electron bolometric mixers at terahertz frequencies[J]. *Applied Physics Letters*, 1998,73(19):2814–2816.
- [17] RICHARDS P L. Bolometers for infrared and millimeter waves[J]. *Journal of Applied Physics*, 1994,76(1):1–24.
- [18] HOU J W,FAROOQUI K,TIMBIE P T,et al. Monolithic silicon bolometers as sensitive MM-wave detectors[C]// IEEE MTT-S International Microwave Symposium Digest. Orlando,FL,USA:IEEE, 1995(3):1347–1350.
- [19] 罗振飞,周逊,李赜宇,等. 基于氧化钒热敏特性的太赫兹探测器[J]. 太赫兹科学与电子信息学报, 2013,11(3): 328–331. (LUO Zhenfei,ZHOU Xun,LI Zeyu,et al. Terahertz detectors based on the thermal sensing characteristics of vanadium oxides[J]. *Journal of Terahertz Science and Electronic Information Technology*, 2013,11(3):328–331.)
- [20] 谢佳林. 基于钽酸锂晶体的热释电太赫兹探测系统的设计[D]. 成都:电子科技大学, 2015. (XIE Jialin. A design of a system for pyroelectric terahertz detectors based on lithium tantalite[D]. Chengdu,China:University of Electronic Science and Technology of China, 2015.)
- [21] GOLAY M J E. The theoretical and practical sensitivity of the pneumatic infrared detector[J]. *Review of Scientific Instruments*, 1949,20(11):816–820.
- [22] SCHELLER M,YARBOROUGH J M,MOLONEY J V,et al. Room temperature continuous wave milliwatt terahertz source[J]. *Optics Express*, 2010,18(26):27112–27117.
- [23] DYAKONOV M,SHUR M. Shallow water analogy for a ballistic field effect transistor:new mechanism of plasma wave generation by dc current[J]. *Physical Review Letters*, 1993,71(15):2465–2468.
- [24] 杜艳丽,刘晓雯,段智勇,等. 太赫兹波探测器的研究进展[J]. 半导体光电, 2009,30(4):481–485. (DU Yanli,LIU Xiaowen,DUAN Zhiyong,et al. Research progresses on terahertz detectors[J]. *Semiconductor Optoelectronics*, 2009,30(4): 481–485.)
- [25] NOVOSELOV K S,GEIM A K,MOROZOV S V,et al. Electric field effect in atomically thin carbon films[J]. *Science*, 2004, 306(5696):666–669.
- [26] BALANDIN A A,GHOSH S,BAO W,et al. Superior thermal conductivity of single-layer graphene[J]. *Nano Letters*, 2008, 8(3):902–907.
- [27] 杨正龙,刘芯岩,卜弋龙,等. 石墨烯场效应晶体管研究进展[J]. 固体电子学研究与进展, 2014(4):345–349. (YANG Zhenglong,LIU Xinyan,BU Yilong,et al. Reserach progress of graphene based field effect transistor[J]. *Research & Progress of SSE*, 2014(4):345–349.)
- [28] RYZHII V,RYZHII M. Graphene bilayer field-effect phototransistor for terahertz and infrared detection[J]. *Physical Review B*, 2009,79(24):245–311.
- [29] RYZHII V,RYZHII M/MITIn V,et al. Terahertz and infrared photodetection using p-i-n multiple-graphene-layer structures[J]. *Journal of Applied Physics*, 2010,107(5):054512-1–054512-7.
- [30] VICARELLI L,VITIELLO M S,COQUILLAT D,et al. Graphene field-effect transistors as room-temperature terahertz detectors[J]. *Nature Materials*, 2012,11(10):865–871.
- [31] MITTENDORFF M,WINNERL S,KAMANN J,et al. Ultrafast graphene-based broadband THz detector[J]. *Applied Physics Letters*, 2013,103(2):021113-1–021113-4.
- [32] ZAK A,ANDERSSON M A,BAUER M,et al. Antenna-integrated 0.6 THz FET direct detectors based on CVD graphene[J]. *Nano Letters*, 2014,14(10):5834–5838.
- [33] SUN J,LINDVALL N,COLE M T,et al. Low partial pressure chemical vapor deposition of graphene on copper[J]. *IEEE Transactions on Nanotechnology*, 2012,11(2):255–260.
- [34] 冯德军,宋磊,季伟,等. 太赫兹波探测器技术研究进展[J]. 光通信技术, 2014,38(1):5–8. (FENG Dejun,SONG Lei,JI Wei,et al. Research progress of THz wave detection[J]. *Optical Communication Technology*, 2014,38(1):5–8.)
- [35] RYZHII V,OTSUJI T,RYZHII M,et al. Double graphene-layer plasma resonances terahertz detector[J]. *Journal of Physics D:Applied Physics*, 2012,45(30):302001-1–302001-6.
- [36] SPIRITO D,COQUILLAT D,DE BONIS S L,et al. High performance bilayer-graphene terahertz detectors[J]. *Applied Physics Letters*, 2014,104(6):061111-1–061111-5.
- [37] YANG Xinxin,SUN Jiandong,QIN Hua,et al. Room-temperature terahertz detection based on CVD graphene transistor[J]. *Chinese Physics B*, 2015,24(4):047206-1–047206-5.
- [38] QIN H,SUN J,LIANG S,et al. Room-temperature, low-impedance and high-sensitivity terahertz direct detector based on bilayer graphene field-effect transistor[J]. *Carbon*, 2017(116):760–765.

- [39] MURAVIEV A V,RUMYANTSEV S L,LIU G,et al. Plasmonic and bolometric terahertz detection by graphene field-effect transistor[J]. Applied Physics Letters, 2013,103(18):181114-1–181114-4.

**作者简介：**



全文浩(1993-), 男, 河北省廊坊市人, 在读硕士研究生, 主要从事基于二维材料的太赫兹探测器研究. email:18633891024@163.com.

游聪娅(1994-), 女, 浙江省丽水市人, 在读博士研究生, 主要从事石墨烯光电器件的研究.

雎丙东(1963-), 男, 石家庄市人, 教授, 主要从事智能仪器仪表研究.

刘北云(1987-), 男, 昆明市人, 在读博士研究生, 主要从事二维材料异质结的光电性能研究.

杨炎翰(1988-), 男, 南京市人, 在读博士研究生, 主要从事二维材料与器件研究.

王保柱(1980-), 男, 石家庄市人, 博士, 副教授, 主要从事半导体材料与器件, 以及电路与系统应用研究.

袁瑞场(1979-), 女, 河北省邯郸市人, 博士, 副教授, 主要从事低维纳米材料中电子输运方面的研究.

张永哲(1982-), 男, 石家庄市人, 博士, 教授, 主要从事光电材料与器件方面的研究.

(上接第 583 页)

- [34] HEBLING J,KUHL J,PETER A,et al. Temperature dependence of the absorption and refraction of Mg-doped congruent and stoichiometric LiNbO<sub>3</sub>in the THz range[C]// Conference on Lasers and Electro-Optics. Vienna,Austria:IEEE, 2004:3.

**作者简介：**



黄俊滔(1994-), 男, 长沙市人, 在读硕士研究生, 主要研究方向为太赫兹产生及探测技术. email:593918735@qq.com.

饶志明(1978-), 男, 江西省抚州市人, 副教授, 主要研究方向为太赫兹技术.

谢芳森(1961-), 男, 江西省兴国县人, 教授, 硕士生导师, 主要研究方向为电子信息技术、光电信息检测.